



زیست چینه نگاری سازند پابده در میدان نفتی قلعه نار بر اساس نانوفسیلهای آهکی

سعیده سنماری*

۱- استادیار گروه معدن، دانشکده فنی و مهندسی، دانشگاه بین المللی امام خمینی (ره)، قزوین، ایران

*پست الکترونیک: senemari2004@yahoo.com

تاریخ پذیرش: ۹۳/۶/۲۵

تاریخ دریافت: ۹۲/۴/۲۴

چکیده

سازند پابده یکی از مهمترین سنگ منشأهای حوضه رسوی زاگرس است. مطالعه چینه نگاری زیستی سازند پابده در میدان نفتی قلعه نار به شناسایی ۲۳ جنس و ۶۲ گونه از نانوفسیلهای آهکی منجر شده است. مطابق با اولین و آخرین حضور گونه‌های شاخص و تجمعات فسیلی همراه، ۱۴ بایوزون از زون‌بندی *Tribrachiatus Discoaster binodosus Zone* (NP11), *Tribrachiatus contortus Zone* (NP10) Martini (1971) شامل بایوزونهای (*Nannotetraena fulgens Zone*, *Discoaster sublodoensis Zone* (NP14), *Discoaster lodoensis Zone* (NP13), *orthostylus Zone* (NP12), *Chiasmolithus oamaruensis Zone* (NP18), *Discoaster saipanensis Zone* (NP17), *Discoaster tani nodifer Zone* (NP16), (NP15), *Helicosphaera Ericsonia subdisticha Zone* (NP21), *Sphenolithus pseudoradians Zone* (NP20), *Isthmolithus recurvus Zone* (NP19) (1980) Okada & Bukry و CP9a-CP17 که با بایوزونهای *Sphenolithus predistentus Zone* (NP23) و *reticulata Zone* (NP22) مطابقت دارند، شناسایی شدند. در نتیجه این مطالعه و بر اساس بایوزونهای شناسایی شده، سن سازند پابده در شمال فروافتادگی دزفول از ائوسن پیشین (ایپرزاين) تا الیگوسن پیشین (روپلین) پیشنهاد می‌شود.

واژه‌های کلیدی: پالتوژن؛ سازند پابده؛ فروافتادگی دزفول؛ نانوفسیلهای آهکی.

مقدمه

دارد (Alavi, 2004). در این میدان سازند پابده نقش سنگ منشأ نفتی را ایفا می‌کند (مطیعی، ۱۳۷۴). Alizadeh *et al.* (2012)، نفتهای پالتوژن زاگرس را سرچشمه گرفته از سازند پابده دانسته و این سازند را مهمترین توالی در ارتباط با مخازن نفتی و گازی این حوضه معرفی کرده‌اند. همچنین در این میدان در بخشی از سازند پابده، گاز قابل ملاحظه‌ای

حدود ۴۵ مخزن بزرگ در فروافتادگی دزفول وجود دارد. میدان نفتی قلعه نار یکی از میدان‌های مهم در این فروافتادگی است که در شمالی ترین قسمت، بین میدانهای نفتی کبود و لب سفید جای گرفته است (شکل ۱). این میدان تاقدیسی است که در دامنه جنوبی خمس بالارود قرار گرفته است و روند ساختاری این میدان با روند ساختاری زاگرس مطابقت

سطح تازه از نمونه، سطح بیرونی نمونه با کاردک تراشیده شده و مقدار کمی از رسوب بر روی لامل ریخته شده و بعد با آب مقطر رقیق می‌گردد. محلول ایجاد شده توسط خلال در روی اسلاید پخش و خشک می‌شود. بعد از چند مرحله آماده سازی، لامل توسط چسب به لام متصل شده و آماده مطالعه می‌گردد. در روش ثقلی نیز ابتدا مقداری از پودر نمونه در بشری با آب مقطر به حالت تعلیق در آمده و سپس محلول ایجاد شده برای مدت ۱ تا ۲ دقیقه ثابت نگه داشته می‌شود تا ذرات درشت تهشین شوند. سپس بخش بالای محلول به بشری دیگر منتقل شده و به مدت ۱۰ تا ۱۵ دقیقه ثابت گذاشته می‌شود. مجدداً بخش بالایی این محلول خارج و بخش پایینی آن جهت مطالعه نانوفسیلها مورد استفاده قرار می‌گیرد. در نهایت بعد از انجام مراحل آماده سازی، اسلايدهای تهیه شده توسط میکروسکوپ پلاریزان با بزرگنمایی ۱۰۰۰ برابر مطالعه و مورد عکس برداری قرار می‌گیرند.

زیست چینه نگاری

در سازند پابده، تنوع و فراوانی خوبی از نانوفسیلهای آهکی وجود دارد. در این مطالعه ضمن تشخیص ۶۲ گونه از ۲۳ جنس نانوفسیل آهکی شناسایی و ۱۴ بایوزون بر اساس زون بندي استاندارد جهانی Martini (1971) معرفی شده‌اند. به منظور شناسایی نانوفسیلها و مطالعات زیست چینه‌ای، از منابع مختلفی همچون Perch-Nielsen (1985) استفاده شده است. برای تعیین بایوزونها از اولین ظهور و آخرین حضور گونه‌های شاخص استفاده شده است. در شرح بایوزونهای شناسایی شده، حروف اختصاری NP بیانگر نانoplanktonهای پالئوژن^۳ از زون بندي Martini (1971) و CP بیانگر کوکولیتهای پالئوژن^۴ از زون بندي

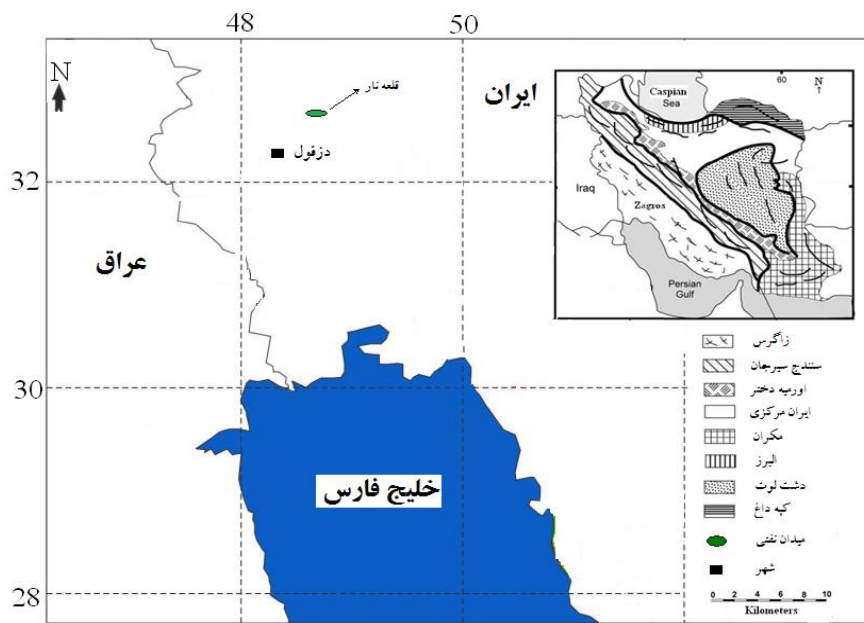
کشف شده است. این سازند از نظر سنگ شناسی از سنگ آهکهای آرژیلی، شیل و مارن تشکیل شده است که به طور همшиб در زیر سنگ مخزن آسماری و به صورت ناپیوسته بر روی سازند گورپی قرار دارند. سازند پابده در استانهای لرستان، خوزستان و فارس گسترش دارد. برش الگوی آن در تنگ پابده واقع در شمال میدان نفتی لالی به ضخامت ۷۹۸ متر مطالعه شده است (Wynd, 1965). در لرستان مرز زیرین سازند پابده با سازند گورپی در قاعده شیلهای ارغوانی قرار دارد. شیلهای ارغوانی از فارس گزارش نشده است. تاکنون مطالعه بر روی سازند پابده در حوضه زاگرس توسط افراد مختلفی همچون بهرامی سامانی (۱۳۷۶)، شریعت زاده و همکاران (۱۳۸۳)، الیاس لنکران و همکاران (۱۳۸۹)، حیدری و همکاران (۱۳۸۹)، صادقی و هداوندخانی (۱۳۸۹)، پرنده‌آور و همکاران (۱۳۹۲)، هادوی و ثبوت (۱۳۹۱)، Bahrami (2002) Bordenave (2009) و Behbahani *et al.* (2010) در زمینه‌های مختلفی نظر نانواستراتیگرافی، محیط رسوبی و بررسی ریزرساره‌ها انجام شده است. پژوهش حاضر اولین مطالعه بر مبنای نانوفسیلهای آهکی در میدان قلعه نار است که به تعریف بایوزونهای این سازند می‌پردازد. هدف از انجام این مطالعه شناسایی گونه‌های مختلف نانوفسیلهای آهکی، ارائه بایوزوناسیون مطابق با زون بنديهای استاندارد جهانی و ارائه سن نسبی بر مبنای این گروه فسیلی است.

روش مطالعه و آماده سازی

تعداد ۱۰۱ نمونه از قاعده تا رأس سازند پابده برداشت شد. نمونه‌های برداشت شده مطابق با روش‌های اسمیر اسلايد^۱ و تهشیست ثقلی^۲ آماده سازی شده است (Bown & Young, 1998). در روش اسمیر اسلايد، ابتدا جهت به دست آوردن

3- Nannoplankton Paleogene
4- Coccoliths Paleogene

1- Smear slide
2- Gravity Setteling



شکل ۱: موقعیت جغرافیایی دزفول و میدان نفتی قلعه نار (برگرفته از مطیعی، ۱۳۷۴؛ با اندکی تغییرات)

Markalius inversus *Ellipsolithus macellus*
Rhomboaster cuspis *Neococcilithes protenus*
Sphenolithus primus *Sphenolithus anarrhopus*
Tribachiatus contortus *Tribachiatus bramlettei*
 می باشد.

Okada & Bukry (1980) است. تصاویر برخی از مهمترین گونه های شناسایی شده در پلیت های ۱ و ۲ و همچنین نمودار پراکندگی عمودی آنها در شکل ۲ ارائه شده است. بایوزونهای شناسایی شده در این پژوهش به شرح زیر می باشند:

Discoaster binodosus Concurrent range Zone (NP11)
 این بایوزون در حد فاصل آخرین حضور گونه *Tribachiatus contortus* تا اولین ظهور گونه *Discoaster lodoensis* قرار دارد. این بایوزون معادل با بایوزون CP9b از زون بندی Okada & Bukry (1980) است. سن این بایوزون ائوسن پیشین (ایپر زین) و نانوفسیلهای *Braarudosphaera bigelowii* همراه آن شامل گونه های *Coccilithus pelagicus*, *Chiasmolithus bidens*, *Discoaster lodoensis*, *Discoaster barbadiensis*, *Discoaster diastypus*, *Discoaster deflandrei*, *Markalius inversus*, *Ellipsolithus macellus*, *Sphenolithus editus*, *Neococcilithes protenus*

Tribachiatus contortus Concurrent range Zone (NP10)
 بایوزون NP10 در حد فاصل ظهور گونه *Tribachiatus bramlettei* تا آخرین حضور گونه *contortus* قرار می گیرد. این بایوزون معادل با بایوزون CP9a از زون بندی Okada & Bukry (1980) است. این بایوزون برخوردي، بعد از ناپیوستگی قاعده ای با سازند گورپی شروع می شود و سن آن ائوسن پیشین (ایپر زین) است. نانوفسیلهای آهکی شناسایی شده در این بایوزون شامل گونه های *Braarudosphaera bigelowii*, *Chiasmolithus bidens*, *Chiasmolithus consuetus*, *Discoaster barbadiensis*, *Discoaster elegans*, *Discoaster diastypus*, *Discoaster multiradiatus*

سن این بایوزون ائوسن پیشین (ایپرزین) است و نانوفسیلهای شناسایی شده در آن مشتمل بر *Chiasmolithus*, *Discoaster*, *Coccolithus pelagicus*, *consuetus*, *Discoaster*, *Discoaster kuepperi*, *dodoensis*, *Ericsonia*, *Discoaster deflandrei*, *barbadiensis*, *Sphenolithus*, *Helicosphaera lophota*, *formosa*, *Reticulofenestra*, *Toweius crassus*, *radians*, *Sphenolithus*, *Rhabdolithus tenuis*, *dictyoda*, *Zygrhablithus*, *Markalius inversus*, *moriformis bijugatus* هستند.

Discoaster sublodoensis Concurrent range Zone (NP14)

این بایوزون از حد فاصل ظهور گونه *Nannotetra fulgens* تا ظهور گونه *sublodoensis* تعریف می‌شود. همان طور که در تعریف بایوزون NP13 نیز اشاره شد، در این بایوزون به دلیل نبود گونه *Discoaster*, *Toweius crassus* از آخرین حضور گونه *sublodoensis* برای تعیین مرز زیرین بایوزون استفاده شده است. این بایوزون معادل با CP12 از زون بندی Okada & Bukry (1980) است. سن این بایوزون ائوسن میانی (لوتسین) و نانوفسیلهای شناسایی شده در آن شامل *Blackites*, *Coccolithus*, *Braarudosphaera bigelowii spinosus*, *Discoaster*, *Discoaster lodoensis*, *pelagicus*, *Ericsonia*, *Discoaster deflandrei*, *kuepperi*, *Nannotetra*, *Markalius inversus*, *formosa*, *Reticulofenestra*, *Neococcolithes dubius*, *cristata*, *Sphenolithus*, *Sphenolithus spiniger*, *dictyoda radians* می‌باشد.

Nannotetra fulgens Concurrent range Zone (NP15)

Sphenolithus radians, *Sphenolithus primus*, *Tribrachiatus*, *Tribrachiatus bramlettei*, *Zygrhablithus bijugatus*, *orthostylus* می‌باشد.

Tribrachiatus orthostylus Concurrent range Zone (NP12)

این بایوزون در حد فاصل ظهور *Discoaster lodoensis* و *Tribrachiatus orthostylus* آخرین حضور گونه از CP10 از زون بندی Okada & Bukry (1980) است. سن بایوزون ائوسن پیشین (Ypresian) و نانوفسیلهای همراه آن شامل *Chiasmolithus*, *Braarudosphaera bigelowii*, *Discoaster*, *Discoaster lodoensis*, *consuetus*, *Discoaster*, *Discoaster barbadiensis*, *kuepperi*, *Ellipsolithus*, *Discoaster diastypus*, *deflandrei*, *Helicosphaera*, *Ericsonia formosa*, *macellus*, *Neococcolithes*, *Markalius inversus*, *lophota*, *Reticulofenestra*, *Neococcolithes protenus*, *dubius*, *Sphenolithus*, *Sphenolithus conspicus*, *dictyoda*, *Sphenolithus*, *Sphenolithus radians*, *editus*, *Tribrachiatus orthostylus*, *moriformis* هستند.

Discoaster lodoensis Concurrent range Zone (NP13)

این بایوزون در حد فاصل آخرین حضور گونه *Discoaster* تا ظهور گونه *Tribrachiatus orthostylus* *Toweius crassus* یا آخرین حضور گونه *sublodoensis* تعیف می‌شود. در این جا گونه *Discoaster* شناسایی نشده و لذا برای تعیین مرز بالای *sublodoensis* آن از آخرین حضور گونه *Toweius crassus* بنا بر نوشته Perch-Nielsen (1985) استفاده گردید. این بایوزون معادل با CP11 از زون بندی Okada & Bukry (1980) است.

زون بندی Okada & Bukry (1980) است. سن این بایوزون اوسن میانی - پسین (لوتسین - بارتونین) و *Braarudosphaera* شناسایی شده در آن شامل *Cyclicargolithus marismontium bigelowii*, *Coccolithus pelagicus*, *Chiasmolithus consuetus*, *Discoaster deflandrei*, *Discoaster barbadiensis*, *Discoaster bifax*, *Discoaster saipanensis*, *Helicosphaera lophota*, *Ericsonia formosa*, *Neococcolithes dubius*, *Markalius inversus*, *Reticulofenestra reticulata*, *Rhabdolithus Reticulofenestra umbilica daviesi*, *Sphenolithus obtusus*, *tenuis*, *Sphenolithus predistentus radians* می‌باشد.

***Discoaster saipanensis* Concurrent range Zone (NP17)**

این بایوزون از آخرین حضور گونه *Chiasmolithus solitus* تعریف شده است. *Chiasmolithus oamaruensis* تا ظهور گونه *Chiasmolithus oamaruensis* می‌شود. البته در این تحقیق گونه‌های مذکور شناسایی نشد، اما همان طور که پیشتر نیز بیان شد، بنا بر نوشته Perch-Nielsen (1985) می‌توان از حضور گونه‌های شاخص دیگر برای تعیین مرز بایوزون استفاده نمود. لذا برای تعیین مرز زیرین این بایوزون از آخرین حضور گونه *Discoaster bifax* و برای تعیین مرز بالای آن از ظهور گونه *Reticulofenestra bisecta* است. سن این بایوزون اوسن پسین (بارتونین) و نانوفسیلهای *Blackites spinosus* شناسایی شده در آن شامل *Cyclicargolithus Braarudosphaera bigelowii*, *Cribro-Chiasmolithus consuetus marismontium* معادل با CP14b از زون بندی Okada & Bukry (1980) است.

گستره این بایوزون از ظهور گونه *Nannotetrina fulgens* تا آخرین حضور *Rhabdolithus gladius* است، اما از اولین ظهور گونه *Reticulofenestra umbilica* نیز می‌توان برای شناسایی مرز بالای آن استفاده کرد. این بایوزون (1980) Okada & Bukry از CP13 معادل با است. سن این بایوزون اوسن میانی (لوتسین) و نانوفسیلهای *Blackites spinosus* شناسایی شده در آن مشتمل بر *Chiasmolithus gigas*, *Braarudosphaera bigelowii*, *Coccolithus pelagicus*, *Chiasmolithus consuetus*, *Discoaster deflandrei*, *Discoaster barbadiensis*, *Ericsonia formosa*, *Discoaster saipanensis*, *Nannotetrina cristata*, *Helicosphaera lophota*, *Neococcolithes dubius*, *Nannotetrina fulgens*, *Rhabdolithus tenuis*, *Reticulofenestra dictyoda*, *Sphenolithus radians*, *Sphenolithus spiniger*, *Sphenolithus predistentus* می‌باشد.

Zygrhablithus bijugatus moriformis هستند.

***Discoaster tani nodifer* Concurrent range Zone (NP16)**

این بایوزون از آخرین حضور گونه *Rhabdolithus gladius* تا آخرین حضور گونه *Chiasmolithus solitus* تعریف می‌شود. با این حال در این پژوهش به دلیل نبود یا عدم شناسایی گونه‌های مذکور از ظهور گونه *Reticulofenestra umbilica* برای مرز زیرین و از آخرین حضور گونه *Discoaster bifax* برای تعیین مرز بالای بایوزون استفاده شده است. بنا بر نوشته Perch-Nielsen (1985) در صورت نبود گونه‌های معرف این بایوزون، می‌توان از گونه‌های شاخص دیگر نظری *Reticulofenestra* برای تعیین مرزهای این *Discoaster bifax* و *umbilica* بایوزون استفاده نمود. این بایوزون معادل با CP14a از

Reticulofenestra stavensis *samodurovii*
Reticulofenestra umbilica *Reticulofenestra minuta*
Sphenolithus radians *Sphenolithus obtusus*
Zygrhablithus bijugatus هستند.

***Isthmolithus recurvus* Concurrent range Zone (NP19)**

این بایوزون از ظهرور گونه *Isthmolithus recurvus* تا ظهرور گونه *Sphenolithus pseudoradians* ادامه دارد. سن این بایوزون ائوسن پسین (پریابونین) و نانوفسیلهای شناسایی شده در آن شامل *Braarudosphaera bigelowii* *Cribrocentrum* *Cyclicargolithus marismontium* *Discoaster* *Chiasmolithus consuetus* *reticulatum* *Discoaster* *Discoaster tani nodifer* *barbadiensis* *Ericsonia formosa* *Dictyococcites bisecta tani* *Helicosphaera* *Helicosphaera compacta* *Helicosphaera euphratis* *bramlettei* *Isthmolithus recurvus* *Micrantholithus excelsus* *Reticulofenestra* *Reticulofenestra bisecta* *Reticulofenestra daviesi* *reticulate* *Reticulofenestra samodurovii* *Sphenolithus Reticulofenestra umbilica* *minuta* *Sphenolithus Sphenolithus predistentus radians* *moriformis* می باشند.

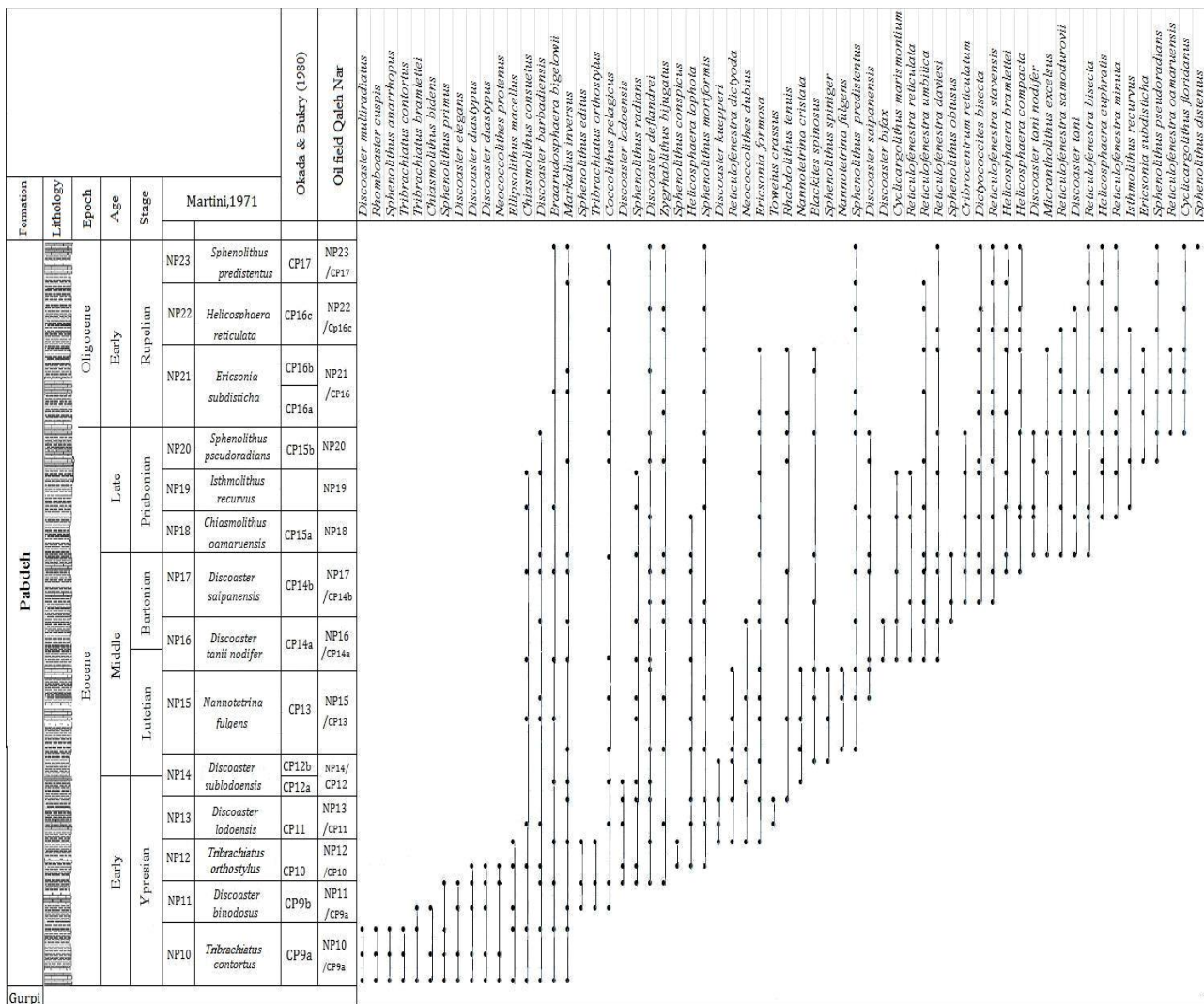
***Sphenolithus pseudoradians* Concurrent range Zone (NP20)**

این بایوزون از ظهرور گونه *Sphenolithus pseudoradians* تا آخرین حضور گونه *Discoaster saipanensis* و یا آخرین حضور گونه *Discoaster barbadiensis* گسترده شده است. این بایوزون معادل با CP15b از زون بندی ائوسن (1980) Okada & Bukry

Discoaster barbadiensis *centrum* *reticulatum*
Discoaster saipanensis *Discoaster deflandrei*
Helicosphaera lophota *Ericsonia formosa*
Helicosphaera *Helicosphaera bramlettei*
Reticulofenestra *Markalius inversus* *compacta*
Reticulofenestra *Reticulofenestra stavensis* *daviesi*
Sphenolithus Rhabdolithus tenuis *umbilica*
Sphenolithus Sphenolithus predistentus obtusus
Zygrhablithus bijugatus *moriformis* می باشند.

***Chiasmolithus oamaruensis* Concurrent range Zone (NP18)**

این بایوزون از ظهرور گونه *Isthmolithus recurvus* تا ظهرور گونه *Chiasmolithus oamaruensis* تعریف می شود. در این مطالعه به علت عدم شناسایی گونه *oamaruensis*، مرز زیرین این بایوزون به وسیله ظهرور گونه *Chiasmolithus* *oamaruensis* تعیین شده است از CP15a (Perch-Nielsen, 1985) این بایوزون معادل با زون بندی Okada & Bukry (1980) است. سن این بایوزون ائوسن پسین (پریابونین) و نانوفسیلهای شناسایی شده در آن شامل *Cyclicargolithus Blackites spinosus* *Cribrocentrum reticulatum* *marismontium* *Discoaster barbadiensis* *Coccolithus pelagicus* *Discoaster tani nodifer* *Discoaster deflandrei* *Discoaster tani* *Discoaster saipanensis* *Ericsonia Formosa* *Dictyococcites bisecta* *Helicosphaera bramlettei* *Helicosphaera lophota* *Helicosphaera compacta* *Helicosphaera euphratis* *Micrantholithus excelsus* *Markalius inversus* *Reticulofenestra reticulate* *Reticulofenestra bisecta* *Reticulofenestra* *Reticulofenestra daviesi*



شکل ۲: نمودار گسترش قائم نانو فسیلهای آهکی سازند پابده در میدان نفتی قلعه نار

Reticulofenestra *Reticulofenestra samodurovii*
Reticulofenestra *umbilica minuta*
Rhabdolithus *Reticulofenestra oamaruensis*
Sphenolithus *Sphenolithus predistentus tenuis*
Sphenolithus *moriformis pseudoradians*
 می باشد.

Ericsonia subdisticha Concurrent range Zone (NP21)

این بایوزون از آخرین حضور گونه *Ericsonia formosa* تا آخرین حضور گونه *saipanensis*

پسین (پریابونین) و نانوفسیلهای آهکی شناسایی شده در آن شامل *Cyclicargolithus* *Blackites spinosus* *Cribrocentrum* *reticulatum floridanus* *Discoaster barbadiensis* *Coccilithus pelagicus* *Discoaster tani* *Discoaster tani nodifer* *Discoaster deflandrei* *Discoaster saipanensis* *Discoaster bix* *Cibicargolithus marismonitum* *Reticulofenestra reticulata* *Helicosphaera umbilica* *Reticulofenestra daviesi* *Sphenolithus excelsus* *Cribozentrum reticulatum* *Dicyclococcales bisecta* *Reticulofenestra daviesi* *Helicosphaera bramlettei* *Reticulofenestra compacta* *Discoaster tani nodifer* *Afghanolithus excelsus* *Reticulofenestra samodurovii* *Discoaster tani* *Reticulofenestra bisecta* *Helicosphaera euphratis* *Ericsonia subdisticha* *Isthmolithus recurvus* *Helicosphaera compacta* *Micrantholithus excelsus* *Markalius inversus* *Reticulofenestra daviesi* *Reticulofenestra bisecta* *Reticulofenestra ramentaria* *Helicosphaera ramentaria* *Foliospongia regularis* *Sphenolithus radiata* *Ericsonia radiata* *Sphenolithus pseudoradians* *Osculocystites jordani* *Sphenolithus distans*

Reticulofenestra daviesi bisecta
Reticulofenestra stvensis samodurovii
Reticulofenestra minuta
Sphenolithus predistentus umbilica
Sphenolithus moriformis pseudoradians
Zygrhablithus bijugatus می باشد.

Sphenolithus predistentus Concurrent range Zone (NP23)

این بایوزون از آخرین حضور گونه *Sphenolithus ciperoensis umbilica* ادامه *Sphenolithus distentus* تا ظهر گونه *Sphenolithus ciperoensis* دارد. این بایوزون معادل با CP17 از زون بندی Okada & Bukry (1980) است. در این مطالعه گونه *Sphenolithus ciperoensis* شناسایی نشد، اما به سبب اولین حضور گونه *Sphenolithus distentus* در این بایوزون که مرز بین بایوزونهای CP17 و CP18 از زون بندی Okada & Bukry (1980) را مشخص می نماید، مرز بالایی بایوزون NP23 همچنان نشان دهنده زمان الیگوسن پیشین (روپلین) است. نانوفسیلهای آهکی شناسایی شده در این بایوزون شامل *Cyclicargolithus Braarudosphaera bigelowii*, *Discoaster floridanus*, *Helicosphaera Dictyococcites bisecta deflandrei*, *Helicosphaera euphratis bramlettei*, *Reticulofenestra bisecta Helicosphaera compacta*, *Reticulofenestra daviesi*, *Reticulofenestra minuta stvensis*, *Sphenolithus umbilica*, *Sphenolithus pseudoradians predistentus*, *Sphenolithus moriformis Sphenolithus distentus* و *Zygrhablithus bijugatus* هستند.

ادامه دارد. این بایوزون معادل با CP16a و CP16b از زون بندی Okada & Bukry (1980) است. سن این بایوزون الیگوسن پیشین (روپلین) و نانوفسیلهای آهکی شناسایی شده در آن شامل *Braarudosphaera Blackites spinosus*, *Coccolithus Cyclcargolithus floridanus bigelowii*, *Discoaster deflandrei Discoaster tani pelagicus*, *Ericsonia formosa Dictyococcites bisecta*, *Helicosphaera bramlettei Ericsonia subdisticha*, *Helicosphaera compacta Helicosphaera euphratis*, *Markalius inversus Isthmolithus recurvus*, *Reticulofenestra bisecta Micrantholithus excelsus*, *Reticulofenestra Reticulofenestra daviesi*, *Reticulofenestra stvensis samodurovii*, *Reticulofenestra umbilica Reticulofenestra minuta*, *Rhabdolithus tenuis Reticulofenestra oamaruensis*, *Sphenolithus Sphenolithus predistentus*, *Sphenolithus moriformis pseudoradians* و *Zygrhablithus bijugatus* هستند.

Helicosphaera reticulata Concurrent range Zone (NP22)

این بایوزون از آخرین حضور گونه *Ericsonia formosa* تا *Helicosphaera umbilica* ادامه *Reticulofenestra umbilica* دارد. این بایوزون معادل با CP16c از زون بندی Okada & Bukry (1980) است. سن این بایوزون الیگوسن پیشین (روپلین) و نانوفسیلهای شناسایی شده در آن شامل *Coccolithus Cyclcargolithus floridanus*, *Discoaster deflandrei Discoaster tani pelagicus*, *Helicosphaera bramlettei Dictyococcites bisecta*, *Helicosphaera Helicosphaera euphratis* و *Reticulofenestra Isthmolithus recurvus compacta*

نتیجه‌گیری

Discoaster tani nodifer *Nannotetra fulgens* Zone

Chiasmolithus *Discoaster saipanensis* Zone Zone

Isthmolithus recurvus Zone *oamaruensis* Zone

Ericsonia *Sphenolithus pseudoradians* Zone

Helicosphaera reticulata *subdisticha* Zone

آهکی در سازند پابده در محل برش قلعه نار شناسایی گردید. بر مبنای مطالعات انجام گرفته بر روی نانوفسیلهای

آهکی تعداد ۱۴ بیوزون در این سازند شناسایی شد.

بازه زمانی اثوسن پیشین (ایرسین) تا الیگوسن پیشین

(روپلین) می‌باشد.

در این مطالعه تعداد ۲۳ جنس و ۶۲ گونه از نانوفسیلهای

آهکی در سازند پابده در محل برش قلعه نار شناسایی

بیوزونهای شناسایی شده شامل بیوزونهای

Tribrachiatus *Discoaster binodosus* Zone *contortus* Zone

Discoaster Tribrachiatus orthostylus Zone

Discoaster sublodoensis Zone *dodoensis* Zone

Plate 1: All figures (XPL-PPL) light micrographs $\times 1000$; the taxa considered in the present figure are referenced in Perch-Nielsen (1985)

1: *Sphenolithus predictentus* Bramlette and Wilcoxon, 1967 (Sample: 93)

2: *Ericsonia subdisticha* (Roth and Hay in Hay et al., 1967) Roth in Baumann & Roth (1969) (Sample: 75)

3: *Cyclicargolithus floridanus* (Roth and Hay in Hay et al., 1967) Bukry, 1971 (Sample: 78)

4: *Discoaster multiradiatus* Bramlette & Riedel (1954) (Sample: 6)

5: *Zygrhablithus bijugatus* (Deflandre in Deflandre & Pert, 1954) Deflandre (1959) (Sample: 25)

6: *Helicosphaera euphratis* Haq, 1966 (Sample: 60)

7: *Discoaster barbadiensis* Tan, 1927 (Sample: 54)

8: *Nannotetra fulgens* (Stradner, 1960) Achuthan and Stradner, 1969 (Sample: 39)

9: *Ellipsolithus macellus* (Bramlette and Sullivan, 1961) Sullivan, 1964 (Sample: 10)

10: *Reticulofenestra umbilicus* (Levin, 1965) Martini & Ritzkowski (1968) (Sample: 78)

11: *Discoaster mohleri* Bukry and Percival, 1971

12: *Tribrachiatus bramlettei* (Brönnimann & Stradner, 1960) Proto Decima et al. (1975) (Sample: 11)

13: *Discoaster saipanensis* Bramlette & Riedel (1954) (Sample: 60)

14: *Tribrachiatus contortus* (Stradner, 1958) Bukry (1972) (Sample: 5)

15: *Sphenolithus pseudoradians* Bramlette and Wilcoxon, 1967 (Sample: 89)

16: *Toweius crassus* (Bramlette & Sullivan 1961) Perch-Nielsen 1984 (Sample: 27)

17: *Isthmolithus recurvus* Deflandre in Deflandre and Fert, 1954 (Sample: 70)

18: *Chiasmolithus gigas* (Bramlette & Sullivan, 1961) Radomski, 1968

19: *Discoaster tani nodifer* Bramlette & Riedel (1954) (Sample: 88)

20: *Discoaster bifax* Bukry (1971) (Sample: 47)

Plate 2: All figures in XPL except 9 in PPL, light micrographs $\times 1000$

1: *Coccolithus pelagicus* (Wallich, 1877) Schiller (1930) (Sample: 88)

2: *Chiasmolithus consuetus* (Bramlette & Sullivan, 1961) Hay & Mohler, 1967 (Sample: 64)

3: *Sphenolithus moriformis* (Brönnimann and Stradner, 1960) Bramlette and Wilcoxon, 1967 (Sample: 91)

4: *Sphenolithus radians* Deflandre in Grassé, 1952 (Sample: 65)

5: *Sphenolithus pseudoradians* Bramlette and Wilcoxon, 1967 (Sample: 71)

6: *Fasciculithus lillianae* Perch-Nielsen, 1971b

7: *Fasciculithus tympaniformis* Hay and Mohler in Hay et al., 1967

8-9: *Ericsonia formosa* (Kamptner, 1963) Haq, 1971 (Sample: 85)

10: *Blackites spinosus* (Deflandre & Fert, 1954) Hay & Towe, 1962

11: *Braarudosphaera bigelowii* (Gran & Braarud 1935) Deflandre 1947 (Sample: 80)

12: *Neococcolithes protenus* (Bramlette & Sullivan, 1961) Black, 1967 (Sample: 6)

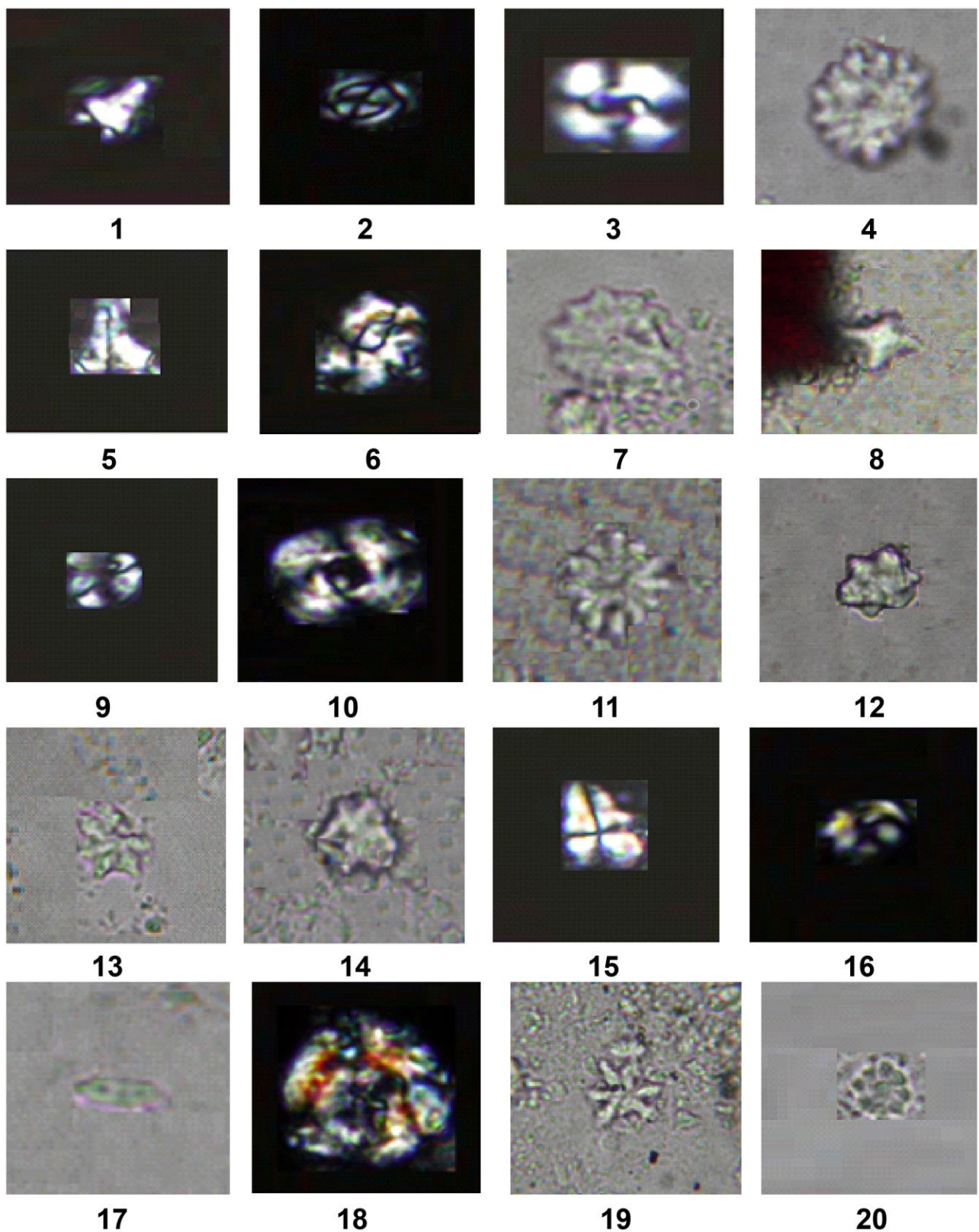
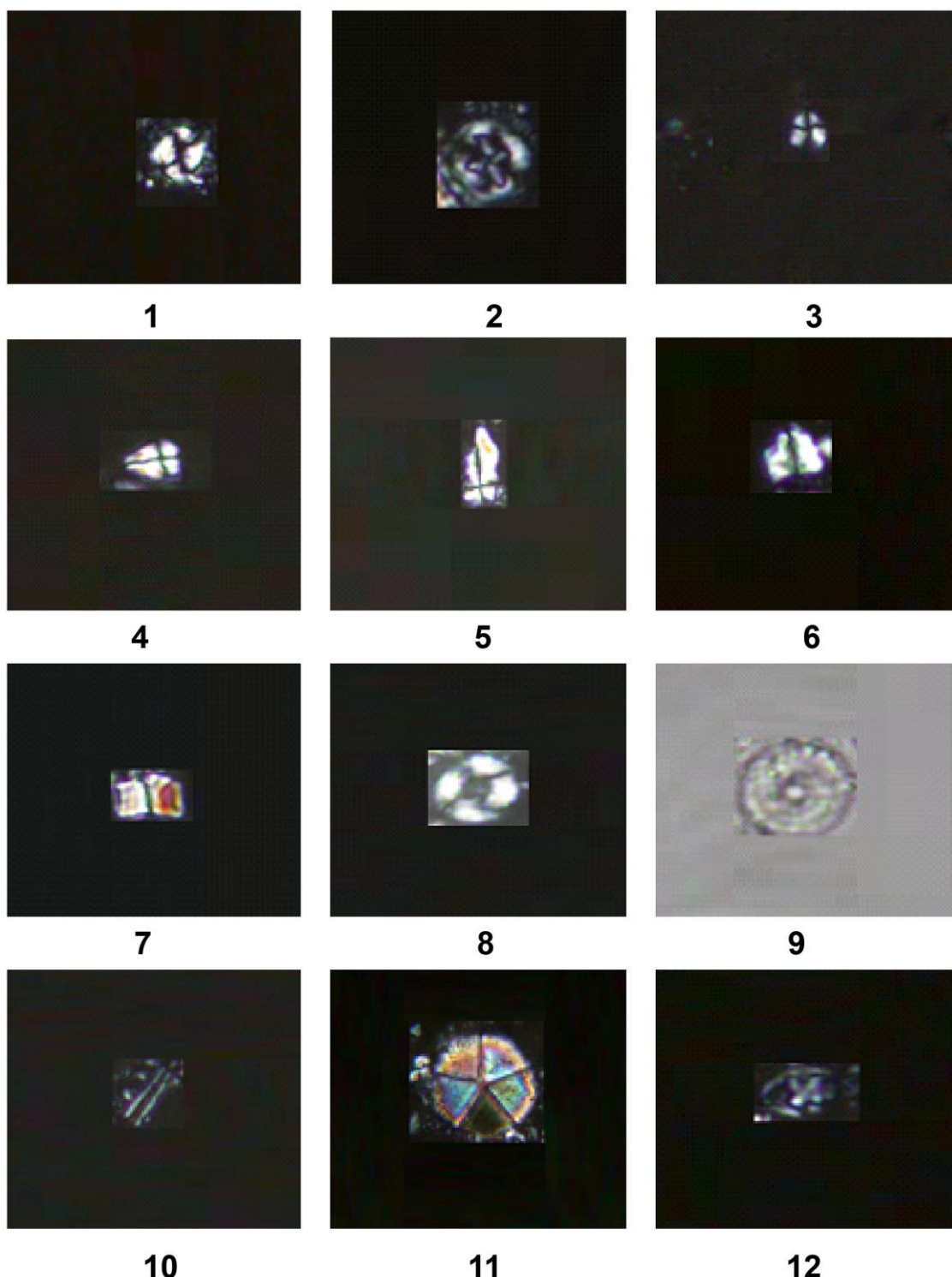
Plate 1

Plate 2



منابع

الیاس لنکران، ز.، حیدری، ا.، میثمی، ع.، پور، ی.، ۱۳۸۹. نگرشی جدید بر تعیین سن و میکروبیواستراتیگرافی سازند پابده در چاه شماره ۳ لاوان (بر اساس میکروفسیلهای پلاژیک). نخستین گردهمایی و همايش ملی بررسی دستاوردهای پژوهشگران علوم زمین ایران، دانشگاه آزاد اسلامی واحد تهران شمال، صص ۱-۶.

بهرامی سامانی، پ.، ۱۳۷۶. مطالعه و بررسی ماهیهای فسیل سازند پابده در بابا حیدر (ناحیه شهر کرد). پایان نامه کارشناسی ارشد دانشگاه فردوسی مشهد، ص ۲۵۹.

پرندآور، م.، ماهانی پور، ا.، آقاباتی، ع.، ۱۳۹۲. بايواستراتیگرافی نانوفسیلهای آهکی اوخر مایستریستین - ابتدای پالئوسن در برش شیخ مکان (یال شمال شرقی کبیر کوه). پژوهش‌های چینه نگاری و رسوب شناسی، ۲۹ (۵۰): ۵۹-۷۸.

حیدری، ا.، قلاوند، ه.، فروغی، ف.، الیاس لنکران، ز.، ۱۳۸۹. تعیین سن سازند پابده در چاه ۴۲۴ (فروافتادگی دزفول در منطقه اهواز) بر مبنای نانوفسیلهای آهکی. نخستین گردهمایی و همایش ملی بررسی دستاوردهای پژوهشگران علوم زمین ایران، دانشگاه آزاد اسلامی واحد تهران شمال، صص ۱-۹.

شريعت زاده، م.س.، قویدل سیوکی، م.، میثمی، ع.، میثمی، ع.، ۱۳۸۳. بايواستراتیگرافی سازندهای آسماری تا سروک در چاه پلنگان ۱ واقع در حوضه دزفول و تطابق آن با چاههای قلعه نار ۲ و لب سفید ۱. پیست و سومین گردهمایی علوم زمین، سازمان زمین شناسی و اکتشافات معدنی کشور.

صادقی، ع.، هداوند خانی، ن.، ۱۳۸۹. زیست چینه نگاری سازند پابده در برش چینه شناسی امامزاده سلطان ابراهیم (شمال غرب شهر ایذه). فصلنامه زمین شناسی ایران، ۱۵: ۸۱-۹۸.

مطیعی، ه.، ۱۳۷۴. زمین شناسی نفت زاگرس. انتشارات سازمان زمین شناسی و اکتشافات معدنی کشور، ص ۵۸۹.

هادوی، ف.، ۱۳۸۷. نانوپلانکتونهای آهکی. انتشارات بنشه مشهد، ص ۵۷۶.

هادوی، ف.، ثبوت، م.، ۱۳۹۱. نانواستراتیگرافی مرز سازندهای گورپی پابده در برش تنگ دوراهک (جنوب تاقدیس کنگان) شائزدهمین همایش نجمن زمین شناسی ایران، شیراز، صص ۱-۸.

Alavi, M., 2004. Regional stratigraphy of the Zagros fold-thrust belt of Iran and its proforeland evolution. *American Journal of Science*, 304: 1-20.

Alizadeh, B., Sarafdoekht, H., Rajabi, M., Opera, A., & Janbaz, M., 2012. Organic Geochemistry and petrography of Kazhdumi (Albian-Cenomanian) and Pabdeh (Paleogene) potential source rock in Southern part of the Dezful Embayment, Iran. *Journal of Organic Geochemistry*, 49: 36-46.

Bahrami, M., 2009. Microfacies and Sedimentary Environments of Gurpi and Pabdeh Formations in Southwest of Iran. *American Journal of Applied Science* 6 (7): 1295-1300.

Behbahani, R., Mohseni, H., Khodabakhshand, S., & Atashmard, Z., 2010. Depositional environment of the Pabdeh formation (Paleogene) Elucidated from trace fossils, Zagros Basin, W Iran. *1st International Applied Geological Congress*, pp. 1004-1007.

Bordenave, M.L., 2002. The Middle Cretaceous to Early Miocene Petroleum System in the Zagros Domain of Iran, and its prospect evaluation, *AAPG Annual Meeting*, Houston, Texas, 1-9.

Bown, P.R., & Young, J.R., 1998. Techniques. In: Bown, P.R., (ed.), *Calcareous Nannofossil Biostratigraphy*. Kluwer Academic Publishers, Dordrecht, Boston, London, 16-28.

Martini, E., 1971. Standard Tertiary and Quaternary Calcareous Nannoplankton Zonation. In: Farniacci, A., (ed.), Proceedings of 2th International Conference on Planktonic Microfossils. Rome, Italy. Edizioni Tecnoscienza, 2: 739-785.

Okada, H., & Bukry, D., 1980. Supplementary modification and introduction of code numbers to the low-latitude coccolith biostratigraphic zonation. *Marine Micropaleontology*, 5 (3): 321-325.

Perch-Nielsen, K., 1985. Cenozoic Calcareous Nannofossils. In: Bolli, H.M., Saunders, J.B., Perch-Nielsen, K. (eds.), *Plankton Stratigraphy*. Cambridge University Press, 427-554.

Wynd, J.G., 1965. Biofacies of the Iranian consortium-agreement area. *Iranian Offshore Oil Company*, Tehran, Report 1082.

Biostratigraphy of the Pabdeh Formation in Qaleh Nar oil field based on Calcareous nannofossils

Senemari, S.,*

Faculty of Engineering, Imam Khomeini International University, Qazvin, Iran

*Email: senemari2004@yahoo.com

Introduction

Biostratigraphic analysis was carried out for the Pabdeh Formation based on calcareous nannofossil in the Qaleh Nar oil field, Zagros Basin located in southwest Iran. Type section of the Pabdeh Formation was introduced in the North of Lali oilfield by Wynd in 1965. In this study, Pabdeh Formation in the north Dezful Embayment consists of marl, argillaceous limestone and shale, and conformity covered by Asmari Formation. The aim of the present study is to determine the exact age of the studied interval with regard to the calcareous nannofossils.

Material and Methods

In this study, 101 samples from Pabdeh Formation have been studied. Samples were prepared following a standard smear slide method (Bown and Young 1998). Calcareous nannofossils nomenclature follows the taxonomic schemes of Perch-Nielson (1985). As a result of this study, 23 genera and 62 species of calcareous nannofossils have been identified.

Discussion

Calcareous nannofossils recorded in the Cenozoic strata are believed to be an appropriate means for biostratigraphic studies. Abbreviations used in this study are the FO (first occurrence) and the LO (last occurrences). The nannofossil zonation used in the present study is based on the Nannoplankton Paleogene zonation of Martini (1971). According to our biostratigraphic data, NP10 to NP23 biozones are introduced as follows:

***Tribrachiatus contortus* Concurrent range Zone:** The first nannofossil unit recorded in this study is the NP10 zone. This bio zone is recorded from the FO *Tribrachiatus bramlettei* to the LO of *Tribrachiatus contortus*. The age of this zone is Ypresian.

***Discoaster binodosus* Concurrent range Zone:** The second nannofossil unit recorded in this study is the NP11 zone. This bio zone is recorded from the LO *Tribrachiatus contortus* to the FO of *Discoaster lodoensis*. The age of this zone is Ypresian.

***Tribrachiatus orthostylus* Concurrent range Zone:** This zone spans the interval from the FO of *Discoaster lodoensis* to the LO of *Tribrachiatus orthostylus*. The age of this zone is Ypresian.

***Discoaster lodoensis* Concurrent range Zone:** The other bio event recorded in this study is the *Discoaster lodoensis* zone. This zone spans the interval from the LO of *Tribrachiatus orthostylus* to the LO of *Toweius crassus*. The age of this zone is Ypresian.

***Discoaster sublodoensis* Concurrent range Zone:** This zone spans the interval from the LO of *Toweius crassus* to the FO of *Nannotetra fulgens*. The age of this zone is Lutetian.

***Nannotetra fulgens* Concurrent range Zone:** The NP15 zone spans the interval from the FO of *Nannotetra fulgens* to the FO of *Reticulofenestra umbilica*. The age of this zone is Lutetian.

***Discoaster taninodifer* Concurrent range Zone:** The NP16 zone spans the interval from the FO of *Reticulofenestra umbilica* to the LO of *Discoaster bifax*. The age of this zone is Lutetian/Bartonian.

***Discoaster saipanensis* Concurrent range Zone:** The NP17 zone spans the interval from the LO of *Discoaster bifax* to the FO of *Reticulofenestra bisecta*. The age of this zone is Bartonian.

***Chiasmolithus oamaruensis* Concurrent range Zone:** The other bio event recorded in this study is the *Chiasmolithus oamaruensis* zone. This zone spans the interval from the FO of *Reticulofenestra bisecta* to the FO of *Isthmolithus recurvus*. The age of this zone is Priabonian.

***Isthmolithus recurvus* Concurrent range Zone:** The NP19 zone spans the interval from the FO of *Isthmolithus recurvus* to the FO of *Sphenolithus pseudoradians*. The age of this zone is Priabonian.

***Sphenolithus pseudoradians* Concurrent range Zone:** The other bioevent recorded in this study is the NP20 zone. This zone spans the interval from the FO of *Sphenolithus pseudoradians* to the LO of *Discoaster barbadiensis*. The age of this zone is Priabonian.

***Ericsonia subdisticha* Concurrent range Zone:** The NP21 zone spans the interval from the LO of *Discoaster saipanensis* to the LO of *Ericsonia formosa*. The age of this zone is Rupelian.

***Helicosphaera reticulata* Concurrent range Zone:** The NP22 zone spans the interval from the LO of *Ericsoniaformosa* to the LO of *Reticulofenestra umbilica*. The age of this zone is Rupelian.

***Sphenolithus predistentus* Concurrent range Zone:** The last bioevent recorded in this study is the NP23 zone. This zone spans the interval from the LO of *Reticulofenestra umbilica* to the FO of *Sphenolithus ciperoensis*. The age of this zone is Rupelian.

Conclusion

The detail study of Pabdeh Formation at Lali Oilfield, based on calcareous nannofossils, enables the subdivision of the studied deposits into fourteen bio zones. The biostratigraphic analysis provides an age of the Ypresian to Rupelian in this section.

Keywords: Paleogene; Pabdeh Formation; Dezful Embayment; calcareous nannofossils.

References

- Bown, P.R., & Young, J.R., 1998. Techniques. In: Bown, P.R., (ed.), Calcareous Nannofossil Biostratigraphy. *Kluwer Academic Publishers, Dordrecht*, Boston, London, 16-28.
- Martini, E., 1971. Standard Tertiary and Quaternary Calcareous Nannoplankton Zonation. In: Farniacci, A., (ed.), Proceedings of 2th International Conference on Planktonic Microfossils. Rome, Italy. Edizioni Tecnoscienza, 2: 739-785.
- Okada, H., & Bukry, D., 1980. Supplementary modification and introduction of code numbers to the low-latitude coccolith biostratigraphic zonation. *Marine Micropaleontology*, 5 (3): 321-325.
- Perch-Nielsen, K., 1985. Cenozoic Calcareous Nannofossils. In: Bolli, H.M., Saunders, J.B., Perch-Nielsen, K. (eds.), Plankton Stratigraphy. *Cambridge University Press*, 427-554.
- Wynd, J.G., 1965. Biofacies of the Iranian consortium-agreement area. *Iranian Offshore Oil Company, Tehran*, Report 1082.